дивничил ииг числинаний иничитической сср известия академии наук армянской сср

Մեխանիկա

XL, At 2, 1987

Механика

УДК 539.374

УПРУГОПЛАСТИЧЕСКОЕ СОСТОЯНИЕ АНИЗОТРОПИЫХ ЦИЛИНДРИЧЕСКИХ И КОНИЧЕСКИХ ТРУБ

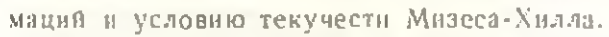
АКОПЯН А. Г., ЗАДОЯН М. А.

Рассматривается упруговлаетическое состояние орготронной толстостенной цилиндрической трубы под совместным воздействием равномерно распределенных пормальных и насательных сил на внутренней и внешней цилиндрических поверхностях, растягивающих осеных сил и крутящих моментов, приложенных из торцевых сечениях, а также упруговлаетическое состояние анизотронной дливной конической трубы при равномерных нормальных и касательных силах, действующих на внутренней и внешней боковых поверхностях. Главные оси адизотронни принимаются совпадающими с сеями, соответственно, пилиндрической и сферической системы координат.

Предельное состояние анизотронных пилиндрических труб рассмотрено в работах [1—5]. В работе [6] изучено упругоиластическое состояние анизотронной инлинарической грубы пол действием равномерного инутреннего и внешнего давления. Предельное состояние анизотронной конической трубы рассмотрено в работе [7], а и [8, 9] построены решения соответствующих упругопластических задач для изотронной цилиндрической и конической груб.

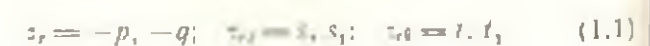
§ 1. Упругопластическое состояние ортотропной цилиндрической трубы

Материал трубы принимаем идеально-пластическим, несжимаемым, удовлетноряющим соотношениям теории упругопластических дефор-



Ось z цилиндрической координатной системы проводим по оси трубы так, чтобы илоскость z=0 проила по серединному поперечному сечению. Положительное направление в считаем против вращения часовой стрелки (фиг. 1).

На внутренней r = a и на внешней r = b цилиндрических поверхностих задаем соответственно значения внешних сил





Фит. 1

На торцевых сечениях $z=\pm 1$ приложены осевые растягивающие силы N^* и крутящие моменты M^* . Соответственно принимаем интегральные условия

$$2\pi \int_{a}^{b} \sigma \cdot r dr = N^*, \quad 2\pi \int_{a}^{b} \tau_{92} r^2 dr = M^*$$
 (1.2)

В зависимости от вклада крутишего момента в интенсивности внешних сил, иластические деформации могут ввервые появляться на внутренией или на внешней поверхностях грубы. Полагаем, что, начиная с некоторого уровня интенсивности внешних сил и при сравнительно небольшом крутищем моменте, с внутренией поверхности г—а трубы распространяется иластической юна. Исходя из характера леформирования грубы, полагаем, что сизор деформации как в иластической, так и и упругой зонах не зависит от продольной координаты г и граничная поверхность между иластической и упругой зонами, на которой следует соблюдать устовия сопражения решений двух соседних зон, естественно, принимается пилиперической (фиг. 1).

В пластической зоне а≪г го компоненты напряжений и перемещений представим в еленскоптем виде:

$$\sigma_{r} = -p + B(F + G)a^{2} \int_{a}^{\infty} dr \cdot A(F - G) \int_{a}^{\infty} dr, \qquad = \frac{a^{2}}{r^{2}}$$

$$\sigma_{\theta} = \sigma_{r} + \omega \left[(F - G)A + (F + G)B\frac{a^{2}}{r^{2}} \right], \qquad = L\omega C\frac{r}{p}$$

$$\sigma_{\theta} = \frac{a^{2}}{r} \left[(F + 2H)A + FB\frac{a^{2}}{r^{2}} \right], \qquad = \frac{a}{r}$$

$$u = -Ar + B\frac{a}{r}, \quad v = E\frac{r}{p} + C\frac{r}{p}z - \frac{r}{N}\int_{-\infty}^{p} \frac{dr}{w}\frac{dr}{r}$$

$$w = D + 2Az - \frac{1}{M}\int_{-\infty}^{p} dr$$
(1.3)

где

$$\frac{M - \tau_{r0}^2 (N)^{1/2}}{(F + G + 4H)A^2 + 2(F - G)AB\frac{\alpha}{r^2} + (F + G)B^2\frac{\alpha}{r^4} + LC^2\frac{r}{\sigma^2}}$$

$$F = F \Delta \cdot G = G_0/\Delta \cdot H = H_0/\Delta \cdot L = L_0^{-1}, \ M = M_0^{-1}, \ N = N^{-1}$$

$$\Delta = F_0G_0 + G_0H_0 + H_0F_0$$

А. В, С, D, Е-произвольные постоянные, F G_0 , H_0 , L_0 , M_0 , N — параметры пластической анизотропни, а $r=\rho$ — граничиая между пластической и упругой зонами цилиндрическая поверхность, положение

которой следует определять в Зависимости от интенсивности внешних сил.

В упругой зоне напряжения и перемещения можно представить в виде

$$\tau_{r} = -q + \varkappa A_{1} \ln \frac{r}{b} + \mu \frac{B_{1}}{2} \left(v^{2} - \frac{a^{2}}{r^{2}} \right), \quad v = \frac{a}{b}$$

$$\tau_{6} = -q + \varkappa A_{1} \left(1 + \ln \frac{r}{b} \right) + \mu \frac{B_{1}}{2} \left(v^{2} + \frac{a^{2}}{r^{2}} \right)$$

$$\tau_{z} = -q + \left(\lambda + \varkappa \ln \frac{r}{b} \right) A_{1} + \left[\frac{\mu}{2} v^{2} + \left(\chi - \frac{\mu}{2} \right) \frac{a^{2}}{r^{2}} \right] B_{1}$$

$$\tau_{rz} = s_{1} \frac{b}{r}, \quad \tau_{r\theta} = t_{1} \frac{b^{2}}{r^{2}}, \quad \tau_{\theta z} = \frac{A_{44}}{2} C_{1} \frac{r}{\rho}$$

$$u = -A_{1}r + B_{1} \frac{a^{2}}{r}, \quad v = E_{1} \frac{r}{\rho} + C_{1} \frac{r}{\rho} z - \frac{t_{1}r}{A_{66}} \left(\frac{b^{2}}{r^{2}} - \frac{b^{2}}{\rho^{2}} \right)$$

$$w = D_{1} + 2A_{1}z + 2\frac{u}{A} \ln \frac{r}{b}$$
(1.4)

где обозначены:

$$\begin{split} \mathbf{z} &= A_{11} - A_{22} + 2A_{23} - 2A_{13}, \quad \mathbf{u} &= A_{11} - 2A_{12} + A_{22} \\ \mathbf{z} &= A_{11} + A_{11} + 2A_{11} - A_{23} - 3A_{12}, \quad \mathbf{z} &= \mathbf{A}_{11} - A_{11} + A_{12} - A_{13} \end{split}$$

 A_1, B_1, C_1, D_1, E_1 —произвольные постоянные, A_1 —упругие постоянные. На поверхности r = y необходимо выполнить условия сопряже-

ния решений двух зон. Из условий непрерывности перемещения следует

$$A_1 = A$$
, $B_1 = B$, $C_1 = C$, $D_1 = D$, $E_1 = E$

а из непрерывности пормального и касательных напряжений на поверхности $r=\mathfrak{g}$ будем иметь

$$p-q = B\left[\frac{w}{2}\left(\frac{a}{a^2}-x\right) + (F+G)a^2\int_a^{\frac{a}{2}} dr \left[+A\right] (F-G)\int_a^{\frac{w}{r}} dr - x \ln\frac{a}{b}\right]$$

$$s_1 = vs, \quad t_1 = v^2t \tag{1.5}$$

Наконец, из условия непрерывности интенсивности касательных напряжений находим ураниение

$$a = B^2 + 27 = AB - \left(1 - M_0 \tau_r^2 - M_0 - A^3 - L_0 - \frac{A_{44}}{2} C^2\right) = 0$$

rge

$$F_{0}(x-y)^{2} + G_{0}y^{2} + H_{0}x = \frac{F_{0}(x-y)(\mu-y) + G_{0}xy + H_{0}x\mu}{\gamma = F_{0}(x-\lambda)^{2} + G_{0}x^{2} + H_{0}x^{2}}$$

Отсюда, определяя B и подставляя в выражения напряжений и перемещений в пластической зоне (1.3), получим

$$\sigma_{r} = -\rho + A \frac{F - G}{a} \int_{a}^{\infty} \omega_{*} r dr + (F + G)Q(\rho) \int_{a}^{\infty} \sigma^{3}$$

$$= \int_{a}^{\infty} \left[(F + 2H)A - + FQ(\rho) \right], \quad \epsilon_{0} = t \frac{a^{2}}{r^{2}}$$

$$= \frac{a}{a} \quad r = F \frac{r}{a} + C \frac{z}{a} \qquad \int_{a}^{\infty} \frac{\tau_{pA}}{\omega_{*}} \frac{dr}{r^{3}}$$

$$u = -Ar + Q(\rho) \frac{1}{r}, \quad w = D + 2Az - \frac{r}{M} \int_{a}^{\infty} \frac{dr}{\omega_{*}} \frac{dr}{r^{4}}$$

где введены функции

Для упругой зоны из (1.4) следует

$$z_{0} = -q + vA \ln \frac{r}{b} + \frac{1}{2} Q(r) \left(\frac{r}{r^{2}} \right)$$

$$z_{0} = -\frac{1}{2} \left(\frac{r}{b} \right) \left(\frac{r}{r^{2}} \right)$$

$$= -\frac{1}{2} \left(\frac{r}{b} \right) \left(\frac{r}{r^{2}} \right) \left(\frac{r}{b^{2}} \right)$$

$$\frac{a}{2} = \frac{a^{2}}{2}$$

$$u = -Ar + Q(r) \frac{r^{2}}{r^{2}}, \quad v = E - +C = -\frac{tr}{A_{6e}} \left(\frac{a^{2}}{r^{2}} - \frac{a^{2}}{a^{2}} \right)$$

$$w = D + 2Az - \frac{2sa}{a} \ln \frac{r}{a}$$
(1.7)

После исключения B уравнение (1.5) запишется в виде

$$p-q = A \frac{F-G}{F} \int_{-F}^{f} \omega_{*}(r,\rho) r dr + Q(\rho) (F+G) \int_{0}^{F} \frac{\omega_{*}(r,\rho)}{r} dr -$$

$$-\kappa A \ln \frac{\rho}{b} + \frac{\mu}{2} Q(\rho) \left(1 - \frac{\rho^2}{b^2}\right), \quad a \leq \rho \leq b$$
 (1.8)

Из условий (1.2) следует

$$A\left[\left(\lambda - \frac{\omega}{r}\right)(b^2 - \rho^2) - \frac{F + G + 4H}{\rho^2} \int_{a}^{\infty} \omega_* r^3 dr\right] = \frac{\Lambda^{**}}{\pi} - pa^2 + qb^2 + \frac{1}{\pi} \left(\mu - 2\chi\right)Q(\rho)\rho^2 \ln\frac{\rho}{\rho} - Q(\rho)\left(F - G\right) \int_{a}^{\infty} \omega_* r dr\right]$$
(1.9)

$$C \left[A_{44}(b^4 - \rho^4) + \frac{4}{\sigma^2} \int_a^{\omega_*} \sigma^5 dr \right] = \frac{2\rho}{\pi} M_{34}$$
 (1.10)

Уравнения (1.8) — (1.10) в принципе определяют значения параметров A, C и ρ . Перемещения определяются с точностью постоянных D и \mathcal{E} .

§ 2. Совместное действие нормальных и окружных касательных сил

Пусть ортотропная цилиндрическая труба находится под совместным воздействием нормальных и окружных касательных распределенных сил (фиг. 2).

$$N^* = pa^2 - qb^2 + \left(\frac{2\chi - \mu}{\delta} \ln \frac{b}{g} + \frac{F - G}{2\sqrt{F + G}}\right)$$

$$\times \sqrt{\frac{e^4 - \frac{t^2}{N}a^4 - \frac{F - G}{2\sqrt{(F + G)N}}ta^2 \times (\arccos \frac{ta^2}{\sqrt{N}\rho^2} - \arccos \frac{t}{\sqrt{N}} + \sqrt{\frac{N}{t^2} - 1})}$$

$$= \sqrt{\Delta[F(\mu - \chi)^2 + G\chi^2 + H\mu^2]}$$

Обозначая 🚛 в пластической зоне будем иметь

В упругой зоне получается

$$\sigma_{r}, \ \sigma_{\theta} = -q + \frac{\mu}{2\delta} \sqrt{1 - \tau^{2}(\rho)/N} \left(\frac{\rho^{2}}{b^{2}} + \frac{\rho^{2}}{r^{2}} \right)$$

$$\sigma_{z} = -q + \left[\frac{\mu}{2\delta} \frac{\rho^{2}}{b^{2}} + \left(\frac{\chi}{\delta} - \frac{\mu}{2\delta} \right) \frac{\rho^{2}}{r^{2}} \right] \sqrt{1 - \tau^{2}(\rho)/N}$$

$$\tau = t \frac{a^{2}}{r^{2}}, \quad \tau_{rz} = \tau_{z\theta} = 0, \quad u = \frac{\rho^{2}}{r\delta} \sqrt{1 - \tau^{2}(\rho)/N}$$

$$v = E \frac{r}{\rho} + \frac{tr}{A_{\theta\theta}} \left(\frac{a^{2}}{\rho^{2}} - \frac{a^{2}}{r^{2}} \right), \quad w = 0, \quad \rho \leqslant r \leqslant b$$

$$(2.2)$$

Из (1.8) приходим к уравнению

$$p - q = \frac{\mu}{2\delta} \sqrt{1 - \tau^2(\rho)/N} \left(1 - \frac{\rho^2}{b^2} \right) + \frac{\sqrt{F + G}}{2} \left(2 \ln \frac{\rho}{a} + \ln \frac{1 + \sqrt{1 - \tau^2(\rho)/N}}{1 + \sqrt{1 - t^2/N}} + \sqrt{1 - \tau^2/N} - \sqrt{1 - \tau^2(\rho)/N} \right)$$
(2.3)

определяющему зависимость между ρ и внешними силами p-q и 1. Из полученных формул предельным переходом можно получить решение задачи об упругопластическом состоянии вокруг круговой полости в бесконечной орто ропной среде.

Полагая q = 0, $E = -\frac{a^2}{A_{aa}}$ при $b = \infty$ из (2.1-2.2) получим: в пластической зоне $a \le r$ a

$$z_{r} = -\rho + \frac{\sqrt{r + \alpha}}{2} \left(2\ln \frac{r}{a} + \ln \frac{1 + \sqrt{1 - t^2/N}}{1 + \sqrt{1 - t^2/N}} + \sqrt{1 - t/N} + \sqrt{r - t/N} \right)$$

$$z_{s} = z_{0s} = 0, \quad w = 0, \quad u = \frac{\rho}{r} \sqrt{1 - z^2(\rho)/N}$$

$$v = -\frac{ta^{2}}{A_{ss}c^{2}}r - \frac{r\rho^{2}}{2ta^{2}}\sqrt{1 - z^{2}(\rho)/N} + \sqrt{1 - t/N} + \sqrt{r - t/N}$$

в упругой зоне г >> р

$$\begin{split} \sigma_r, & \sigma_b = \mp \frac{\mu}{2\delta} \frac{\rho^2}{r^2} \sqrt{1 - \tau^2(\rho)/N}, & \sigma_z = \left(\frac{\chi}{\delta} - \frac{\mu}{2\delta}\right) \frac{\rho^2}{r^2} \sqrt{1 - \tau^2(\rho)/N} \\ & \tau = t \frac{a^2}{r^2}, & \tau_{rz} = \tau_{0z} = 0, & u = \frac{\rho^2}{\delta r} \sqrt{1 - \tau^2(\rho)/N} \\ & v = -\frac{ta^2}{A_{ar}}, & v = 0 \end{split}$$

Граница между упругой и пластической зонами определяется уравнением

$$\frac{2p}{\sqrt{I+G}} + \ln(1+\sqrt{1-t^2/N}) - \sqrt{1-t^2/N} =$$

$$= \left(\frac{\mu}{2\sqrt{I+G}} - 1\right) \sqrt{1 - \frac{1-G}{Np^4}} + \ln\left(\frac{p}{a^2} + \sqrt{\frac{p}{a^4} - N}\right)$$

В случае полости предельное упругое состояние описывается эл-

$$\frac{p^2}{\left(\frac{\mu}{2\delta}\right)^2} + \frac{t^2}{N} = 1$$

§ 3. Вывод основных уравнений, описывающих упругопластическое состояние ортотропной конической грубы

Материал трубы принимаем ортотрончым, несжимаемым, идеально пластическим и удовлегворяющим уравнениям теории упругопластических деформаций. Поласаем, что при определенных комбинациях внешних сил вокруг конической поверхности 0=∞ образуется пластическая зона, ограниченная поверхностью 0=√, подлежащей определению в ходе решения задачи. На граничной поверхности между пластической и упругой зонами имеются условия сопряжения, а на внутренней и на внешней поверхностях задано соответственно (фиг. 3)

$$n = -p_1, -p_2; \quad \tau_{r0} = m_1, m_2; \quad \tau_{0z} = q_1, \quad q_1 \quad \text{ipn} \quad \theta = \alpha, \quad \beta$$
 (3.1)

Задачу булем решать в сферической системе координат, центр которой помещен в вершине конуса.

Решение в пластической зоне представим в виде

$$\sigma_{i} = -\rho_{1} + \int_{0}^{0} |(2G+H)f - (2H-G)f \cot\theta| \cot\theta d\theta - \frac{1}{2} + \frac{1}{2$$

где 32

$$N(f'+fctgb)'^2+(F+H-4O)f'^2-2(2G-2H-F)f'fctgb$$

D—произвольная постоянная, а $f(\emptyset)$ —пеизвестная функция, которая определяется из системы дифференциальных уравнений

$$\tau_{,\theta}^{\prime} = -\tau_{,\theta}^{\prime} \operatorname{ctg}\theta + \sigma \left[(2G + 2F - H)f' + (2F + 2H - G)f \operatorname{ctg}\theta \right]$$
(3.3)

$$f'' + f' \operatorname{ctg}\theta - \frac{f}{\sin^2\theta} - \frac{7.8}{N} = 0$$

Если ввести обозначения

$$\varphi = \frac{f'}{f}$$
, $T = (1 - \tau_{q_p}^2/L - \tau_{p_p}^2/N)^{-1/2}$

$$\Phi = [(F+H+4G)\varphi^2 - 2(2G-2H-F)f'f \operatorname{ctg}^{6} + (F+G-4H)f^2 \operatorname{ctg}^{25}]^{1/2}$$

и произвести некоторые преобразования [7], систему (3.3) можно привести к канонической форме

$$\tau'_{\bullet} = -\tau_{\bullet} \operatorname{cig}\theta - \frac{1}{T\Phi} \left[(2G + 2F - h)\varphi + (2H - 2F - G)\operatorname{cig}\theta \right]$$

$$\tau' = -\varepsilon^{2} - \varepsilon\operatorname{cig}\theta + \frac{1}{\sin^{2}\theta} + \frac{\tau}{\Lambda} T\Phi$$
(3.4)

Граничными условиями для (3.4) будут: $\tau_{c0} = m_1$ при $\theta = \alpha$ и условия сопряжения на поверхности $\theta = \pi$

Решение в упругой зоне можно представить следующим образом:

$$= p_{2} - \left[(\chi^{\Pi''} - \mu^{\Pi'} \operatorname{ctg}\theta) \operatorname{ctg}\theta d\theta - 3 \right]^{2} - d\theta$$

$$= p_{0} + \mu^{\Pi'} + \chi^{\Pi'} \operatorname{ctg}\theta, \quad \tau_{0} = \frac{s \, n^{2}}{s \ln^{2}\theta}$$

$$\tau_{0} = p_{1} + \chi^{\Pi'} - \mu^{\Pi'} \operatorname{ctg}\theta, \quad \tau_{r_{2}} = 0$$

$$\tau_{0} = \frac{A_{00}}{2} \left(\Pi'' - \Pi' \operatorname{ctg}\theta \right)', \quad u = r(\Pi'') + \Pi' \operatorname{ctg}\theta, \quad v = -3r\Pi'$$

$$= \frac{r}{4} a_{2} \sin^{2}\theta \sin\theta \left(\ln \frac{\operatorname{tg}\theta \cdot 2}{\operatorname{tg}^{2}/2} + \frac{\cos^{2}\theta}{\sin^{2}\theta} - \frac{\cos\theta}{\sin^{2}\theta} \right) - Er \sin\theta$$

$$= \frac{r}{4} a_{2} \sin^{2}\theta \sin\theta \left(\ln \frac{\operatorname{tg}\theta \cdot 2}{\operatorname{tg}^{2}/2} + \frac{\cos^{2}\theta}{\sin^{2}\theta} - \frac{\cos\theta}{\sin^{2}\theta} \right) - Er \sin\theta$$

rae

Е—произвольная постоянняя, $\Psi(\theta)$ —неизвестная функция, которая определяется из системы дифференциальных уравнений

$$s' = -s \cot \theta + \frac{\Psi}{\sin^2 \theta} + \frac{2\pi a}{A_{ex}}, \quad \Psi' = s$$
(3.6)

Граничными условиями для системы (3.6) будут: 5.6=m2 при 0=8 и условия сопряжения на поверхности 0 которые дают

$$E = D_{1} \quad q_{1}\sin^{3}\alpha = q_{2}\sin^{2}\theta$$

$$f = \Psi', \quad \varphi = \frac{s}{\Psi}, \quad \varphi' = \left(\frac{s}{\Psi}\right)^{2} + \frac{s}{\Psi'}, \quad \text{nph} \quad \theta = \gamma$$

$$\rho_{1} - \rho_{2} = \int_{0}^{\beta} \left[\frac{3}{2}A_{06}s' + \left(\chi + \frac{3}{2}A_{66}\right)\sec^{\beta}\theta - \left(\mu\csc^{\beta}\theta + \frac{3A}{2\sin^{2}\theta}\right)\Psi\right]d\theta - \frac{s}{2\sin^{2}\theta}d\theta$$

$$- \int_{\alpha} \left[3N(\varphi' + \varphi^{2}) - (2G + H - 3N)\varphi \csc^{\beta}\theta + (2H + G)\csc^{2}\theta - \frac{3N}{\sin^{2}\theta}\right]\frac{d\theta}{T\Phi}$$
(3.7)

Дифференциальные уравнения (3.4), (3.6), условия сопряжения (3.7) и граничные условия для тля из (3.1) в принципе определяют функции тля, φ , φ , Ψ и поверхность раздела упругой и иластической зон γ .

§ 4. Упругопластическое состояние трансверсально изотропной конической трубы под совместным поздействием нормальных и кольцепых касательных сил

Пусть на внутренней и на внешней боковых поверхностях трансверсально изотропной конической трубы с осью симметрии механических свойств 0=0 действуют, соответственно, нормальные давления и кольцевые касательные силы

$$s_{\theta} = -p_1, \quad -p_2; \quad s_{\theta} = q_1, \quad q_2, \quad \text{при} \quad \theta = s_1, \quad (4.1)$$

Полагая по всему объему тела равными нулю кроме 7/2, также и 5/3, находим

$$f = V = \frac{A}{\sin \theta}; \quad A = -\frac{\sqrt{1 - (q_1^n \sin^4 \alpha)/(L \sin^4 \gamma)}}{\sqrt{\Delta \sqrt{F(\chi + \mu)^2 + G(\kappa - x - \chi - \mu)^2 + H(x - r)^2}}} \frac{\sin^8 \gamma}{\cos \gamma}$$
(4.2)

В пластической зоне выполучаем

$$\sigma_{r} = \sigma_{\theta} + \sqrt{\frac{G}{2}} \sqrt{1 - \tau^{2}/L}, \quad \sigma_{e} = \sigma_{\theta} + \sqrt{2G} \sqrt{1 - \tau^{2}/L}.$$

$$\sigma_{1} = -p_{1} + \sqrt{\frac{G}{2}} \left(2\ln \frac{\sin \theta}{\sin \theta} + \ln \frac{1 - \sqrt{1 - \tau^{2}/L}}{1 + \sqrt{1 - q_{1}/L}} + 1 - q_{1}/L - \sqrt{1 - \tau^{2}/L} \right)$$

$$\sigma_{2} = \sigma_{0} = q_{1} \frac{\sin^{2} x}{\sin^{2} \theta}, \quad u = 0, \quad \sigma = \frac{3r}{4} \lg \sqrt{1 - \frac{q_{1}^{2} \sin^{2} x}{L \sin^{2} x}} \frac{\sin \theta}{\sin \theta}$$

$$(4.3)$$

$$\frac{3r}{A_0 L q_1} \sqrt{\frac{g}{2}} \frac{\sin^4 x}{\sin^4 x} \frac{\sin \theta}{\cos y} \sqrt{L - g} \frac{\sin^4 y}{\sin^4 y} \left(\sqrt{L - g} \frac{\sin^4 y}{\sin^4 y} \right)$$

$$- \sqrt{L - g} \frac{\sin^4 x}{\sin^4 \theta} - Dr \sin \theta, \ A_0 = \sqrt{\Delta} \sqrt{F(\chi + y_1)^2 + G(z - x - \chi - y_2)^2 + H(x - h)^2}$$

В упругой зоне ү≤0≤3 будем иметь для папряжений

$$\sigma_{r} = \sigma_{0} + \frac{1}{A_{0}} \sqrt{1 - \frac{q_{1}^{2} \sin^{4} \alpha}{L \sin^{4} \gamma}} \frac{\sin^{2} \gamma}{\sin^{2} \theta} \frac{\cos \theta}{\cos \gamma}, \quad \tau = \tau_{r} \theta = 0$$

$$\sigma_{0} = \sigma_{0} + \frac{\chi + \mu}{A_{0}} \sqrt{1 - \frac{q_{1}^{2} \sin^{4} \alpha}{L \sin^{4} \gamma}} \frac{\sin^{2} \theta}{\sin^{2} \theta} \frac{\cos \gamma}{\cos \gamma} \quad \tau = q_{2} \frac{\sin^{2} \beta}{\sin^{2} \theta} \qquad (4.4)$$

$$\sigma_{0} = -\mu - \frac{\chi + \mu}{2A_{0}} \sqrt{1 - \frac{q_{1}^{2} \sin^{4} \alpha}{L \sin^{4} \gamma}} \frac{\sin^{2} \gamma}{\cos \gamma} \left(\ln \frac{tg^{9}/2}{tg^{9}/2} + \frac{\cos \theta}{\sin^{2} \theta} - \frac{\cos \beta}{\sin^{2} \theta} \right)$$

Перемещення и и v определяются согласно (4.3), а кольцевое перемещение

$$w = \frac{2rq_2\sin^2\beta}{A_{22} - A_{23}} \sin\theta \left(\ln\frac{\mathrm{tg}\theta/2}{\mathrm{tg}\gamma/2} + \frac{\cos\gamma}{\sin^2\gamma} - \frac{\cos\theta}{\sin^2\theta} \right) + Dr\sin\theta \tag{4.5}$$

Граничная поверхность между упругой и пластической зонами определяется соотношением

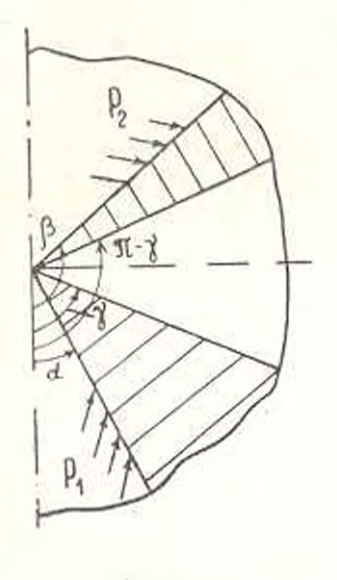
$$P_{1}-P_{2} = \frac{\chi_{1}}{2A_{0}} V = \frac{\sin \alpha}{L \sin^{4} \gamma} \frac{\sin^{2} \gamma}{\cos \gamma} \left(\ln \frac{L + 2}{1g^{3}/2} + \frac{\cos \gamma}{\sin^{2} \gamma} - \frac{\cos \beta}{\sin^{2} \beta} \right) +$$

$$+ \sqrt{\frac{G}{2}} \left(2 \ln \frac{\sin \gamma}{\sin \alpha} + \ln \frac{1 + \sqrt{1 - \frac{\gamma^{2}}{L \sin^{4} \gamma}}}{1 - \frac{L \sin^{4} \gamma}{L}} + \sqrt{1 - \frac{q^{2}}{2} / L} - \sqrt{1 - \frac{q^{2}}{L \sin^{4} \gamma}} \right)$$
(4.6)

В случае 3≥-/2 (фиг. 4) может возникнуть двухстороннее пластическое состояние [8]. В пластической зоне 2≤9≤7 напряжения и перемещения определяются прежинми формулами (4.3), а в упругой зоне 1—формулами (4.4), (4.5). В пластической зоне 1—7<6≤8 находим

$$\begin{aligned} \mathbf{s}_{r} &= \mathbf{s}_{0} - \sqrt{\frac{G}{2}} \sqrt{1 - \frac{1}{2}L} &= \mathbf{s}_{0} - \sqrt{2GV} \sqrt{1 - \frac{2}{2}L} \\ &= \mathbf{s}_{0} \frac{\sin^{2}x}{\sin^{2}\theta}, \quad \mathbf{s}_{0} = -\rho_{0} + \sqrt{\frac{G}{2}} \left(2\ln \frac{\sin \theta}{\sin \theta} + \frac{1 + \sqrt{1 - q_{0}/L}}{1 + \sqrt{1 - \pi^{2}/L}} + \sqrt{1 - \pi^{2}/L} - \right) \sqrt{1 - \pi^{2}/L} \\ &+ \ln \frac{1 + \sqrt{1 - q_{0}/L}}{1 + \sqrt{1 - \pi^{2}/L}} + \sqrt{1 - \pi^{2}/L} - \right) \sqrt{1 - \pi^{2}/L} \end{aligned}$$

$$= \frac{4rq_{1}\sin^{2}x\sin\theta}{A_{22} - A_{12}} \left(\frac{\cos\gamma}{\sin^{2}\gamma} - \ln \log \frac{\gamma}{2} \right) - \frac{1}{2} \sqrt{1 - \pi^{2}/L} \right)$$



фиг. Т

$$-\frac{3r}{A_{0}Lq_{1}}\sqrt{\frac{g}{2}}\frac{\sin^{2}\gamma}{\sin^{2}\gamma}\frac{\sin^{6}\theta}{L-q_{1}^{2}\frac{\sin^{4}\alpha}{\sin^{4}\gamma}}\left(\sqrt{L-q_{1}^{2}\frac{\sin^{4}\alpha}{\sin^{4}\gamma}}-\sqrt{L-q_{1}^{2}\frac{\sin^{4}\alpha}{\sin^{4}\gamma}}-\sqrt{L-q_{1}^{2}\frac{\sin^{4}\alpha}{\sin^{4}\gamma}}\right) + Dr\sin\theta$$
(4.7)

Перемещения и и определяются согласно (4.3). В рассмотренном здесь случае параметр у находим из соотношения

$$\begin{split} p_1 - p_2 &= \sqrt{\frac{G}{2}} \left[2 \ln \frac{\sin^2 \gamma}{\sin \alpha \sin \beta} + \ln \frac{[1 + \sqrt{1 - (q_1^2 \sin^4 \gamma)/(L \sin^4 \gamma)}]^2}{(1 + \sqrt{1 - q_2^2/L})(1 + \sqrt{1 - q_1^2/L})} \right] \\ &+ \sqrt{1 - q_1 L} + \sqrt{1 - q_1 L} \right] + \frac{\chi + \mu}{A_0} \sqrt{1 - \frac{q_1^2 \sin^4 \alpha}{L \sin^4 \gamma}} \frac{\sin^8 \gamma}{\cos \gamma} \ln \lg \frac{\gamma}{2} + \\ &+ \left(\frac{\chi + \mu}{A_0} - \sqrt{2G} \right) \sqrt{1 - \frac{q_1^2 \sin^4 \alpha}{L \sin^4 \gamma}} \end{split}$$

Случай ү=п/2 соответствует предельному состоянию трубы.

ԳԼԱՆԱՅԻՆ ԵՎ ԿՈՆԱԿԱՆ ԱՆԻԶՈՏՐՈՊ ԽՈՂՈՎԱԿՆԵՐԻ ԱՌԱՉԳԱՊԼԱՍՏԻԿԱԿԱՆ ՎԻՃԱԿԸ

Ա. Գ. ՀԱԿՈՒՑԱՆ, Մ. Ա. ԶԱԿՈՒԱՆ

Ամփոփում

Դիտարկված է օրինսարուս, հասա պատերում գլանային խողովակի առածգապլաստիկական վիճակը ներջին և արտաջին գլանային մակերհույթների մրա ազգող համասարաչամ բաշիւմած նորմալ և շոշափող ուժերի, ճակատային հատույթների մրա կիրառված առանցրային ձգող ուժերին ոլորող մամենտների համատեղ աղդեղության տակ, ինչպես նաև անիզոտրոպ, երկար կոնական խողովակի առաձգապլաստիկական վիճակը արտաջին և ներթին կողային մակերևույթների վրա ազդող համասարաչափ բաշխված նորմալ և շոշափոխ ուժերի դեպքում։ Ընդունված է, որ նյութի անիզոտրարուհային և դնդային կողողինատների համակարդի առանցրների հետ։ Ստաչմած են արտահայտություններ, որոնք կապ են հաստատում արտարին ուժերի և աստձգական ու սլյաստիկ դոտիների սահմանի միջն։

THE ELASTOPLASTIC STATE OF ANISOTROPIC CYLINDRICAL AND CONICAL TUBES

A. G. HACOBIAN, M. A ZADOYAN

Summarv

The elastoplastic state of an orthotropic thick-walled cylindrical tube under the joint effect of uniformly distributed normal and tangential forces on internal ans external cylindrical surfaces, extending axial forces and twisting moments applied on end-face plane cross-section,

and the elastoplastic state of the anisotropic, long, conical tube under the uniform normal and tangential forces acting on internal and external lateral surfaces are considered. The main axes of anisotropy are assumed to coincide, respectively, with the axes of cylindric and spheric coordinates. The relations establishing a connection between external forces and the boundary between elastic and plastic zones have been obtained.

JHTEPATYPA

- 1. Задоля М. А. О некоторых решениях уравнений пластического течения анизо-
- тронной среды. Или, АН СССР, МТТ, Инж. ж., 1966, № 2, с. 91—96.
 2. Колмогоров В. Л., Соловей В. Д. К предельной нагрузке анизотронной грубы под внутренним давлением. Прикл. механика, 1975, т. 11, в. 7, с. 79—88.
- 3. Cater h. Neale K. W. Large strain inelastic behaviours of cylindrical tubes. -intern. J. Solids and Struct., 1983, v. 19, No. 8, p. 709-724.
- 4. Sugimoto Masakatsu, Itakura Joshikiyo. Salto Koichi, Изучение пластического попедения труб из анизограциого материала с открытыми и закрытыми концами пол внутренним давлением "Пихон кикан гаккай ромбунсю".—Trans. Jap. Soc. Mech. Eng. 1973, 39, No. 328, p. 3609-3618.
- 5. Вочарова С. А. Напряженное состояние цилиндра из янизотропного материала под действием инутреннего данления и осевой силы при больших илистических деформациях —Изв. пузов. Машиностроение, 1971. № 7, с. 5—10.
- 6. Betten Josef, Frosch Hans-Georg. Elistisch-plastisches Verhalten diekwandiger Zylinder unter Berücksichtigung der plastischen Anisotropie und der plastischen Kompressibilitat. Forsch. Ingenteurw., 1983, 49, No. 4, p. 112-116.
- 7. Аколяя А. Г. Предельное состояние пластически анизотронной конической трубы.—Изв. АП АрмССР, Механика, 1985, т. 38, № 1, с. 20 32.
- 8. Задоли М. А. Упругоилзетическое состояние конической трубы.—Докл. АН СССР,
- 1983, т. 271, № 1, с. 56-60. 9 Задоли М. 1. Упругопластическое состояние голетостенной трубы—Изв. АН СССР. МТТ, 1987, № 4, с. 98—109.

Институт механики АН Армянской ССР

Поступила в редакцию 8.V11.1985